

А. П. Мелконян

### Об изгибе двухслойной толстой плиты

Рассматривается задача об изгибе толстой свободно опертой двух-слойной плиты прямоугольного очертания. Материалы слоев обладают различными модулями упругости. В пределах каждого слоя модуль упругости считается постоянным. Предполагается, что различные материалы, составляющие слой, имеют один и тот же коэффициент Пуассона. В частности решена задача изгиба квадратной плиты для различных относительных размеров и отношений модулей упругости слоев. Результаты точного решения сопоставляются с результатами, получаемыми в теории изгиба тонких плит.

1. *Общее решение толстой двухслойной свободно опертой плиты прямоугольного очертания под нормальной нагрузкой.* Пусть толстая прямоугольная плита, со сторонами  $a$  и  $b$ , и с толщинами слоев  $\delta_1$  и  $\delta_2$ , нагружена поперечной нагрузкой интенсивности  $p(x, y)$ , приложенной к верхней плоскости плиты. Каждый слой в отдельности также является толстым. Пусть верхний слой имеет модуль упругости  $E_1$ , нижний слой —  $E_2$ . Коэффициенты Пуассона для обоих слоев примем равными  $\nu$ . Все величины, относящиеся к верхнему слою будем обозначать индексом 1, к нижнему слою — индексом 2. Координатную плоскость  $xoy$  расположим на границе контакта слоев с началом в одной из вершин плиты. Ось  $oz$  направим вертикально вниз. Обозначим через  $u, v, w$  перемещения частицы упругого тела, а через  $X_x, Y_y, Z_z, X_y, Y_z, X_z$  компоненты тензора напряжений.

Под свободным опиранием подразумеваем следующие условия в любой точке боковой поверхности плиты [1]:

1. Нормальная компонента напряжений равна нулю.
2. Касательные компоненты смещения равны нулю.

Предположим, что на верхней и нижней граничных плоскостях плиты отсутствуют касательные напряжения. Граничные условия на этих плоскостях будут иметь вид:

$$\text{при } z = -\delta_1 \quad Z_2^{(1)} = -p(x, y), \quad X_2^{(1)} = 0, \quad Y_2^{(1)} = 0, \quad (1.1)$$

$$\text{при } z = \delta_2 \quad Z_2^{(2)} = 0, \quad X_2^{(2)} = 0, \quad Y_2^{(2)} = 0.$$

Необходимо также выполнение следующих условий на контакте:

$$\text{при } z = 0 \quad Z_2^{(1)} = Z_2^{(2)}, \quad X_2^{(1)} = X_2^{(2)}, \quad Y_2^{(1)} = Y_2^{(2)}, \quad (1.2)$$

$$v^{(1)} = v^{(2)}, \quad u^{(1)} = u^{(2)}, \quad w^{(1)} = w^{(2)}.$$

На внешнюю поперечную нагрузку  $p(x, y)$  накладываем ограничения, позволяющие представить ее в виде двойного ряда Фурье:

$$p(x, y) = \sum_{k=1}^{\infty} \sum_{n=1}^{\infty} \beta_{kn} \sin \frac{k\pi x}{a} \sin \frac{n\pi y}{b}, \quad (1.3)$$

$$\text{где } \beta_{kn} = \frac{4}{ab} \int_0^a \int_0^b p(x, y) \sin \frac{k\pi x}{a} \sin \frac{n\pi y}{b} dx dy. \quad (1.4)$$

Используем для каждого слоя решение Б. Г. Галеркина [1], где все компоненты напряжения и перемещения выражаются через бигармоническую функцию:

$$\varphi_j(x, y, z) = \sum_{k=1}^{\infty} \sum_{n=1}^{\infty} \left\{ \left[ A_{kn}^{(j)} \operatorname{sh} \alpha_{kn} + B_{kn}^{(j)} \operatorname{ch} \alpha_{kn} + C_{kn}^{(j)} z \operatorname{ch} \alpha_{kn} + D_{kn}^{(j)} z \operatorname{sh} \alpha_{kn} \right] \sin \frac{k\pi x}{a} \sin \frac{n\pi y}{b} \right\} \quad (1.5)$$

и имеют следующие выражения:

$$X_x^{(j)} = \sum_{k=1}^{\infty} \sum_{n=1}^{\infty} \left\{ \left[ A_{kn}^{(j)} \frac{k^2 \pi^2}{a^2} \lambda_{kn} \operatorname{ch} \alpha_{kn} + B_{kn}^{(j)} \frac{k^2 \pi^2}{a^2} \lambda_{kn} \operatorname{sh} \alpha_{kn} + C_{kn}^{(j)} \left[ \frac{k^2 \pi^2}{a^2} (\alpha_{kn} \operatorname{sh} \alpha_{kn} + \operatorname{ch} \alpha_{kn}) + 2\sigma \pi^2 \lambda_{kn}^2 \operatorname{ch} \alpha_{kn} \right] + D_{kn}^{(j)} \left[ \frac{k^2 \pi^2}{a^2} (\alpha_{kn} \operatorname{ch} \alpha_{kn} + \operatorname{sh} \alpha_{kn}) + 2\sigma \pi^2 \lambda_{kn}^2 \operatorname{sh} \alpha_{kn} \right] \right\} \sin \frac{k\pi x}{a} \sin \frac{n\pi y}{b}; \quad (1.6)$$

$$Y_y^{(j)} = \sum_{k=1}^{\infty} \sum_{n=1}^{\infty} \left\{ \left[ A_{kn}^{(j)} \frac{n^2 \pi^2}{b^2} \lambda_{kn} \operatorname{ch} \alpha_{kn} + B_{kn}^{(j)} \frac{n^2 \pi^2}{b^2} \lambda_{kn} \operatorname{sh} \alpha_{kn} + C_{kn}^{(j)} \left[ \frac{n^2 \pi^2}{b^2} (\alpha_{kn} \operatorname{sh} \alpha_{kn} + \operatorname{ch} \alpha_{kn}) + 2\sigma \pi^2 \lambda_{kn}^2 \operatorname{ch} \alpha_{kn} \right] + D_{kn}^{(j)} \left[ \frac{n^2 \pi^2}{b^2} (\alpha_{kn} \operatorname{ch} \alpha_{kn} + \operatorname{sh} \alpha_{kn}) + 2\sigma \pi^2 \lambda_{kn}^2 \operatorname{sh} \alpha_{kn} \right] \right\} \sin \frac{k\pi x}{a} \sin \frac{n\pi y}{b}; \quad (1.7)$$

$$Z_z^{(j)} = - \sum_{k=1}^{\infty} \sum_{n=1}^{\infty} \left\{ A_{kn}^{(j)} \pi^2 \lambda_{kn}^2 \operatorname{ch} \alpha_{kn} + B_{kn}^{(j)} \pi^2 \lambda_{kn}^2 \operatorname{sh} \alpha_{kn} + \right. \\ \left. + C_{kn}^{(j)} \pi^2 \lambda_{kn}^2 [\alpha_{kn} \operatorname{sh} \alpha_{kn} - (1 - 2\sigma) \operatorname{ch} \alpha_{kn}] + D_{kn}^{(j)} \pi^2 \lambda_{kn}^2 [\alpha_{kn} \operatorname{ch} \alpha_{kn} - \right. \\ \left. - (1 - 2\sigma) \operatorname{sh} \alpha_{kn}] \right\} \sin \frac{k\pi x}{a} \sin \frac{n\pi y}{b}, \quad (1.8)$$

$$Z_y^{(j)} = - \frac{\pi^2}{b} \sum_{k=1}^{\infty} \sum_{n=1}^{\infty} n \left\{ A_{kn}^{(j)} \pi \lambda_{kn}^2 \operatorname{sh} \alpha_{kn} + B_{kn}^{(j)} \pi \lambda_{kn}^2 \operatorname{ch} \alpha_{kn} + \right. \\ \left. + C_{kn}^{(j)} \lambda_{kn} (\alpha_{kn} \operatorname{ch} \alpha_{kn} + 2\sigma \operatorname{sh} \alpha_{kn}) + D_{kn}^{(j)} \lambda_{kn} (\alpha_{kn} \operatorname{sh} \alpha_{kn} + \right. \\ \left. + 2\sigma \operatorname{ch} \alpha_{kn}) \right\} \sin \frac{k\pi x}{a} \cos \frac{n\pi y}{b}, \quad (1.9)$$

$$X_z^{(j)} = - \frac{\pi^2}{a^2} \sum_{k=1}^{\infty} \sum_{n=1}^{\infty} k \left\{ A_{kn}^{(j)} \pi \lambda_{kn}^2 \operatorname{sh} \alpha_{kn} + B_{kn}^{(j)} \pi \lambda_{kn}^2 \operatorname{ch} \alpha_{kn} + \right. \\ \left. + C_{kn}^{(j)} \lambda_{kn} (\alpha_{kn} \operatorname{ch} \alpha_{kn} + 2\sigma \operatorname{sh} \alpha_{kn}) + D_{kn}^{(j)} \lambda_{kn} (\alpha_{kn} \operatorname{sh} \alpha_{kn} + \right. \\ \left. + 2\sigma \operatorname{ch} \alpha_{kn}) \right\} \cos \frac{k\pi x}{a} \sin \frac{n\pi y}{b}, \quad (1.10)$$

$$Y_x^{(j)} = - \frac{\pi^2}{ab} \sum_{k=1}^{\infty} \sum_{n=1}^{\infty} kn \left\{ A_{kn}^{(j)} \pi \lambda_{kn} \operatorname{ch} \alpha_{kn} + B_{kn}^{(j)} \pi \lambda_{kn} \operatorname{sh} \alpha_{kn} + \right. \\ \left. + C_{kn}^{(j)} (\operatorname{ch} \alpha_{kn} + \alpha_{kn} \operatorname{sh} \alpha_{kn}) + D_{kn}^{(j)} (\operatorname{sh} \alpha_{kn} + \right. \\ \left. + \alpha_{kn} \operatorname{ch} \alpha_{kn}) \right\} \cos \frac{k\pi x}{a} \cos \frac{n\pi y}{b}; \quad (1.11)$$

$$u^{(j)} = - \frac{1 + \sigma}{E_j} \frac{\pi}{a} \sum_{k=1}^{\infty} \sum_{n=1}^{\infty} k \left\{ A_{kn}^{(j)} \pi \lambda_{kn} \operatorname{ch} \alpha_{kn} + B_{kn}^{(j)} \pi \lambda_{kn} \operatorname{sh} \alpha_{kn} + \right. \\ \left. + C_{kn}^{(j)} (\operatorname{ch} \alpha_{kn} + \alpha_{kn} \operatorname{sh} \alpha_{kn}) + D_{kn}^{(j)} (\operatorname{sh} \alpha_{kn} + \right. \\ \left. + \alpha_{kn} \operatorname{ch} \alpha_{kn}) \right\} \cos \frac{k\pi x}{a} \sin \frac{n\pi y}{b}, \quad (1.12)$$

$$v^{(j)} = - \frac{1 + \sigma}{E_j} \frac{\pi}{b} \sum_{k=1}^{\infty} \sum_{n=1}^{\infty} n \left\{ A_{kn}^{(j)} \pi \lambda_{kn} \operatorname{ch} \alpha_{kn} + B_{kn}^{(j)} \pi \lambda_{kn} \operatorname{sh} \alpha_{kn} + \right. \\ \left. + C_{kn}^{(j)} (\operatorname{ch} \alpha_{kn} + \alpha_{kn} \operatorname{sh} \alpha_{kn}) + D_{kn}^{(j)} (\operatorname{sh} \alpha_{kn} + \right.$$

$$+ \alpha_{kn} \operatorname{ch} z_{kn}] \sin \frac{k\pi x}{a} \cos \frac{n\pi y}{b}; \quad (1.13)$$

$$\begin{aligned} w^{(j)} = & -\frac{1+\sigma}{E_j} \sum_{k=1}^{\infty} \sum_{n=1}^{\infty} [A_{kn}^{(j)} \pi^2 \lambda_{kn}^2 \operatorname{sh} z_{kn} + B_{kn}^{(j)} \pi^2 \lambda_{kn}^2 \operatorname{ch} z_{kn} + \\ & + C_{kn}^{(j)} \pi \lambda_{kn} (\alpha_{kn} \operatorname{ch} z_{kn} - 2(1-2\sigma) \operatorname{sh} z_{kn}) + D_{kn}^{(j)} \pi \lambda_{kn} (\alpha_{kn} \operatorname{sh} z_{kn} - \\ & - 2(1-2\sigma) \operatorname{ch} z_{kn})] \sin \frac{k\pi x}{a} \sin \frac{n\pi y}{b}, \end{aligned} \quad (1.14)$$

где 
$$\lambda_{kn} = \sqrt{\frac{k^2}{a^2} + \frac{n^2}{b^2}}; \quad z_{kn} = \pi \lambda_{kn} z.$$

( $j = 1, 2$  — соответственно для верхнего и нижнего слоев).

Входящие в эти уравнения восемь коэффициентов  $A_{kn}^{(j)}$ ,  $B_{kn}^{(j)}$ ,  $C_{kn}^{(j)}$ ,  $D_{kn}^{(j)}$  определяются из условий на поверхности (1.1) и условий сопряжения на контактной плоскости (1.2).

Из условий сопряжения (1.2) получаем следующую систему алгебраических уравнений:

$$\begin{aligned} \pi \lambda A^{(1)} + (2\sigma - 1) C^{(1)} &= \pi \lambda_{kn} A^{(2)} + (2\sigma - 1) C^{(2)}; \\ E_2 \pi \lambda A^{(1)} + E_2 C^{(1)} &= E_1 \pi \lambda A^{(2)} + E_1 C^{(2)}; \\ \pi \lambda B^{(1)} + 2\sigma D^{(1)} &= \pi \lambda B^{(2)} + 2\sigma D^{(2)}; \end{aligned} \quad (1.15)$$

$$E_2 \pi \lambda B^{(1)} + 2E_2 (2\sigma - 1) D^{(1)} = E_1 \pi \lambda B^{(2)} + 2E_1 (2\sigma - 1) D^{(2)}.$$

Шесть условий (1.2) привелись к четырем уравнениям (1.15) в силу того, что условия  $v^{(1)} = v^{(2)}$  и  $u^{(1)} = u^{(2)}$  приводят к одинаковым уравнениям. То же имеет место для условий  $X_2^{(1)} = X_2^{(2)}$ ,  $Y_2^{(1)} = Y_2^{(2)}$ .

Решая эту систему относительно коэффициентов с индексом 1 получим:

$$A^{(1)} = A^{(2)} + \frac{1-2\sigma}{\pi \lambda} R (\pi \lambda A^{(2)} + C^{(2)}); \quad (1.16)$$

$$B^{(1)} = B^{(2)} + \frac{2\sigma}{\pi \lambda} R [\pi \lambda B^{(2)} - (2-4\sigma) D^{(2)}]; \quad (1.17)$$

$$C^{(1)} = C^{(2)} + R (\pi \lambda A^{(2)} + C^{(2)}); \quad (1.18)$$

$$D^{(1)} = D^{(2)} - R [\pi \lambda B^{(2)} - (2-4\sigma) D^{(2)}]. \quad (1.19)$$

где 
$$R = \frac{1}{2(1-\sigma)} \left( \frac{E_2}{E_1} - 1 \right).$$

Таким образом, на основе использования условия на контакте, первоначальные восемь неизвестных постоянных привелись к четырем  $A^{(2)}$ ,  $B^{(2)}$ ,  $C^{(2)}$ ,  $D^{(2)}$ . Последние определяются из условий на поверхности (1.1).

\* Для простоты записи индексы  $kn$  в дальнейшем изложении опускаем.

Подставляя значения напряжений в (1.1) и используя (1.16) — (1.19), для определения  $A^{(2)}$ ,  $B^{(2)}$ ,  $C^{(2)}$ ,  $D^{(2)}$  получим следующую систему уравнений:

$$\begin{aligned} & \pi^2 \lambda^3 \{ \text{ch} \psi + R \psi \text{sh} \psi \} A^{(2)} - \pi^2 \lambda^3 \{ \text{sh} \psi - R (\psi \text{ch} \psi - \\ & \quad - \text{sh} \psi) \} B^{(2)} + \pi^2 \lambda^2 \{ |\psi \text{sh} \psi - (1 - 2\sigma) \text{ch} \psi | + \\ & \quad + R \psi \text{sh} \psi \} C^{(2)} - \pi^2 \lambda^2 \{ |\psi \text{ch} \psi - (1 - 2\sigma) \text{sh} \psi | - \\ & \quad - 2(2\sigma - 1) R (\psi \text{ch} \psi - \text{sh} \psi) \} D^{(2)} = \beta; \\ & - \pi \lambda^2 \{ \text{sh} \psi + R (\text{sh} \psi + \psi \text{ch} \psi) \} A^{(2)} + \pi \lambda^2 \{ \text{ch} \psi + \\ & \quad + R \psi \text{sh} \psi \} B^{(2)} - \lambda \{ (\psi \text{ch} \psi + 2\sigma \text{sh} \psi) + \\ & \quad + R (\text{sh} \psi + \psi \text{ch} \psi) \} C^{(2)} + \lambda \{ (\psi \text{sh} \psi + \\ & \quad + 2\sigma \text{ch} \psi - 2(2\sigma - 1) R \psi \text{sh} \psi \} D^{(2)} = 0; \\ & \pi^2 \lambda^3 \text{ch} \xi A^{(2)} + \pi^2 \lambda^3 \text{sh} \xi B^{(2)} + \pi^2 \lambda^2 \{ \xi \text{sh} \xi - \\ & \quad - (1 - 2\sigma) \text{ch} \xi \} C^{(2)} + \pi^2 \lambda^2 \{ \xi \text{ch} \xi - (1 - 2\sigma) \text{sh} \xi \} D^{(2)} = 0, \\ & \pi \lambda^2 \text{sh} \xi A^{(2)} + \pi \lambda^2 \text{ch} \xi B^{(2)} + \lambda \{ \xi \text{ch} \xi + \\ & \quad + 2\sigma \text{sh} \xi \} C^{(2)} + \lambda \{ \xi \text{sh} \xi + 2\sigma \text{ch} \xi \} D^{(2)} = 0, \end{aligned} \quad (1.20)$$

где

$$\psi = \pi \lambda \delta_1; \quad \xi = \pi \lambda \delta_2.$$

Шесть условий (1.1) привелись к четырем уравнениям (1.20) т. к.  $X_2^{(1)} = Y_2^{(1)} = 0$  при  $z = -\delta_1$ , приводят к одинаковым уравнениям. То же имеет место для  $X_2^{(2)} = Y_2^{(2)} = 0$  при  $z = \delta_2$ .

Решая систему (1.20) находим:

$$A^{(2)} = \frac{\Delta A^{(2)}}{\Delta}; \quad B^{(2)} = \frac{\Delta B^{(2)}}{\Delta}; \quad C^{(2)} = \frac{\Delta C^{(2)}}{\Delta}; \quad D^{(2)} = \frac{\Delta D^{(2)}}{\Delta} \quad (1.21)$$

где:

$$\begin{aligned} \Delta = & \pi^6 \lambda^6 \{ [\text{sh}^2 (\psi + \xi) - (\psi + \xi)^2] + \\ & + 4(1 - \sigma) R [\text{sh} \psi \text{ch} \xi \text{sh} (\psi + \xi) - (\psi + \xi) \psi + \\ & + \frac{1}{2(1 - \sigma)} (\xi^2 \text{sh}^2 \psi - \psi^2 \text{sh}^2 \xi)] + R^2 [(1 - 2\sigma)^2 + \xi^2 + \\ & + (3 - 4\sigma) \text{ch}^2 \xi] (\text{sh}^2 \psi - \psi^2) \}; \\ \Delta A^{(2)} = & \pi^3 \lambda^5 \beta \{ [(\psi \text{ch} \xi + 2\sigma \text{sh} \xi) \text{sh} (\psi + \xi) - \\ & - (\xi \text{ch} \psi + 2\sigma \text{sh} \psi) (\psi + \xi)] + \\ & + R \left[ \frac{1}{2} (\text{sh} 2\xi - 2\xi) (\text{sh} \psi + \psi \text{ch} \psi) + \right. \end{aligned} \quad (1.22)$$

$$+ [(4\sigma^2 - 2\sigma) + \xi^2 + (2 - 4\sigma) \operatorname{ch}^2 \xi] \psi \operatorname{sh} \psi \Bigg\}; \quad (1.23)$$

$$\begin{aligned} \Delta_B^{(2)} = & -\pi^2 \lambda^2 \beta \{ [(2\sigma \operatorname{ch} \xi + \psi \operatorname{sh} \xi) \operatorname{sh}(\psi + \xi) + \\ & + (2\sigma \operatorname{ch} \psi + \xi \operatorname{sh} \psi) (\psi + \xi)] + \\ & + R [ |-(1 - 2\sigma)^2 + \xi^2 + \operatorname{ch}^2 \xi| (\operatorname{sh} \psi + \psi \operatorname{ch} \psi) + \\ & + (1 - 2\sigma) (\operatorname{sh} 2\xi + 2\xi) \psi \operatorname{sh} \psi ] \}; \quad (1.24) \end{aligned}$$

$$\begin{aligned} \Delta_C^{(2)} = & -\pi^2 \lambda^2 \beta \{ |\operatorname{sh} \xi \operatorname{sh}(\psi + \xi) - (\psi + \xi) \operatorname{sh} \psi| + \\ & + R \left[ \frac{1}{2} (\operatorname{sh} 2\xi - 2\xi) (\operatorname{sh} \psi + \psi \operatorname{ch} \psi) - \right. \\ & \left. - (1 - 2\sigma + \operatorname{ch}^2 \xi) \psi \operatorname{sh} \psi \right] \}; \quad (1.25) \end{aligned}$$

$$\begin{aligned} \Delta_D^{(2)} = & \pi^2 \lambda^2 \beta \left\{ \left[ \operatorname{ch} \xi \operatorname{sh}(\psi + \xi) + (\psi + \xi) \operatorname{ch} \psi \right] + \right. \\ & + R [ (1 - 2\sigma + \operatorname{ch}^2 \xi) (\operatorname{sh} \psi + \psi \operatorname{ch} \psi) - \\ & \left. - \frac{1}{2} \psi \operatorname{sh} \psi (2\xi + \operatorname{sh} 2\xi) \right\}. \quad (1.26) \end{aligned}$$

Определив таким образом, коэффициенты  $A^{(2)}$ ,  $B^{(2)}$ ,  $C^{(2)}$ ,  $D^{(2)}$  из (1.16) — (1.19) находим  $A^{(1)}$ ,  $B^{(1)}$ ,  $C^{(1)}$ ,  $D^{(1)}$ . Далее могут быть найдены компоненты тензора напряжений и перемещения в любой точке плиты. В частном случае при  $E_1 = E_2$ ,  $\delta_1 = \delta_2$  получается решение Б. Г. Галеркина для изотропной толстой плиты.

2. *Свободно опертая двухслойная квадратная плита под нагрузкой, распределенной по закону синуса.* Рассмотрим квадратную двухслойную плиту с равными толщинами слоев. Положим, что нагрузка распределена по поверхности плиты согласно закону:  $P(x, y) = P_0 \sin \frac{\pi x}{a} \sin \frac{\pi y}{a}$ , где  $P_0$  — интенсивность нагрузки в центре плиты.

Для данной задачи в полученных выше результатах надо положить:

$$n = k = 1, \quad a = b, \quad \delta_1 = \delta_2 = \frac{h}{2}, \quad \sigma = 0,25.$$

Выражения напряжений  $X_x$ ,  $Z_z$ ,  $X_z$  и перемещений  $u$ ,  $w$  примут вид:

$$\begin{aligned} X_x^{(j)} = & \left\{ A^{(j)} \frac{\pi^2}{a^2} \lambda \operatorname{ch} \alpha + B^{(j)} \frac{\pi^2}{a^2} \lambda \operatorname{sh} \alpha + C^{(j)} \left[ \frac{\pi^2}{a^2} (\alpha \operatorname{sh} \alpha + \right. \right. \\ & \left. \left. + \operatorname{ch} \alpha) + 2\sigma \pi^2 \lambda^2 \operatorname{ch} \alpha \right] + D^{(j)} \left[ \frac{\pi^2}{a^2} (\alpha \operatorname{ch} \alpha + \operatorname{sh} \alpha) + \right. \right. \end{aligned}$$

$$+ 2\sigma\pi^2\lambda^2 \operatorname{sh} z \left. \right\} \sin \frac{\pi x}{a} \sin \frac{\pi y}{a}, \quad (2.1)$$

$$Z_z^{(j)} = - \{ A^{(j)} \pi^3 \lambda^3 \operatorname{ch} z + B^{(j)} \pi^3 \lambda^3 \operatorname{sh} z + C^{(j)} \pi^2 \lambda^2 [ \alpha \operatorname{sh} z - \\ - (1 - 2\sigma) \operatorname{ch} z ] + D^{(j)} \pi^2 \lambda^2 [ z \operatorname{ch} z - \\ - (1 - 2\sigma) \operatorname{sh} z ] \} \sin \frac{\pi x}{a} \sin \frac{\pi y}{a}, \quad (2.2)$$

$$X_z^{(j)} = - \frac{\pi^2}{a^2} \{ A^{(j)} \pi \lambda^2 \operatorname{sh} z + B^{(j)} \pi \lambda^2 \operatorname{ch} z + C^{(j)} \lambda ( \alpha \operatorname{ch} z + 2\sigma \operatorname{sh} z ) + \\ + D^{(j)} \lambda ( z \operatorname{sh} z + 2z \operatorname{ch} z ) \} \cos \frac{\pi x}{a} \sin \frac{\pi y}{a}, \quad (2.3)$$

$$u^{(j)} = - \frac{1 + \sigma}{E_j} \cdot \frac{\pi}{a} \{ A^{(j)} \pi \lambda \operatorname{ch} z + B^{(j)} \pi \lambda \operatorname{sh} z + C^{(j)} ( \operatorname{ch} z + \\ + z \operatorname{sh} z ) + D^{(j)} ( \operatorname{sh} z + z \operatorname{ch} z ) \} \cos \frac{\pi x}{a} \sin \frac{\pi y}{a}, \quad (2.4)$$

$$w^{(j)} = - \frac{1 + \sigma}{E_j} \{ A^{(j)} \pi^2 \lambda^2 \operatorname{ch} z + B^{(j)} \pi^2 \lambda^2 \operatorname{ch} z + C^{(j)} \pi \lambda [ \alpha \operatorname{ch} z - \\ - 2(1 - 2\sigma) \operatorname{sh} z ] + D^{(j)} \pi \lambda [ z \operatorname{sh} z - \\ - 2(1 - 2\sigma) \operatorname{ch} z ] \} \sin \frac{\pi x}{a} \sin \frac{\pi y}{a}. \quad (2.5)$$

Коэффициенты определяем из (1.21) где:

$$\Delta = \pi^6 \lambda^8 \{ [ \operatorname{sh}^2 2\psi - (2\psi)^2 ] + 2(1 - \sigma) R [ \operatorname{sh}^2 2\psi - (2\psi)^2 ] + \\ + R^2 [ (1 - 2\sigma)^2 + \psi^2 + (3 - 4\sigma) \operatorname{ch}^2 \psi ] ( \operatorname{sh}^2 \psi - \psi^2 ) \}, \quad (2.6)$$

$$\Delta_{A^{(2)}} = P_0 \pi^3 \lambda^6 \left\{ ( \psi \operatorname{ch} \psi + 2\sigma \operatorname{sh} \psi ) ( \operatorname{sh} 2\psi - 2\psi ) + \right. \\ \left. + R \left[ \frac{1}{2} ( \operatorname{sh} 2\psi - 2\psi ) ( \operatorname{sh} \psi + \psi \operatorname{ch} \psi ) + ( (4\sigma^2 - 2\sigma) + \right. \right. \\ \left. \left. + \psi^2 + (2 - 4\sigma) \operatorname{ch}^2 \psi ) \psi \operatorname{sh} \psi \right] \right\}, \quad (2.7)$$

$$\Delta_{B^{(2)}} = - P_0 \pi^3 \lambda^6 \{ ( \psi \operatorname{sh} \psi + 2\sigma \operatorname{ch} \psi ) ( \operatorname{sh} 2\psi + 2\psi ) + \\ + R [ ( - (1 - 2\sigma)^2 + \psi^2 + \operatorname{ch}^2 \psi ) ( \operatorname{sh} \psi + \psi \operatorname{ch} \psi ) + \\ + (1 - 2\sigma) ( \operatorname{sh} 2\psi + 2\psi ) \psi \operatorname{sh} \psi ] \}, \quad (2.8)$$

$$\Delta_{C^{(2)}} = - P_0 \pi^4 \lambda^6 \left\{ ( \operatorname{sh} 2\psi - 2\psi ) \operatorname{sh} \psi + R \left[ ( \operatorname{sh} \psi + \psi \operatorname{ch} \psi ) ( \operatorname{sh} 2\psi - \right. \right. \\ \left. \left. - 2\psi ) \frac{1}{2} - (1 - 2\sigma + \operatorname{ch}^2 \psi) \psi \operatorname{sh} \psi \right] \right\}, \quad (2.9)$$

$$\Delta_D^{(2)} = P_0 \pi^4 \lambda^0 \left\{ (\operatorname{sh} 2\psi + 2\psi) \operatorname{ch} \psi + R \left[ (1 - 2\tau + \operatorname{ch}^2 \psi) (\operatorname{sh} \psi + \psi \operatorname{ch} \psi) - \frac{1}{2} (\operatorname{sh} 2\psi + 2\psi) \psi \operatorname{sh} \psi \right] \right\}. \quad (2.10)$$

Результаты произведенных расчетов приведены в таблицах. В

таблицах помещены значения величин  $\frac{X_x \left( \frac{a}{2}, \frac{a}{2}, z \right)}{P_0}$ ,  $\frac{Z_z \left( \frac{a}{2}, \frac{a}{2}, z \right)}{P_0}$ ,  $\frac{X_z \left( 0, \frac{a}{2}, z \right)}{P_0}$ , вычисленных по формулам (2.1)–(2.3) и  $\frac{E_1 \omega \left( \frac{a}{2}, \frac{a}{2}, z \right)}{P_0 h}$  по формуле (2.5), при различных относительных размерах  $\frac{h}{a}$  и отно-

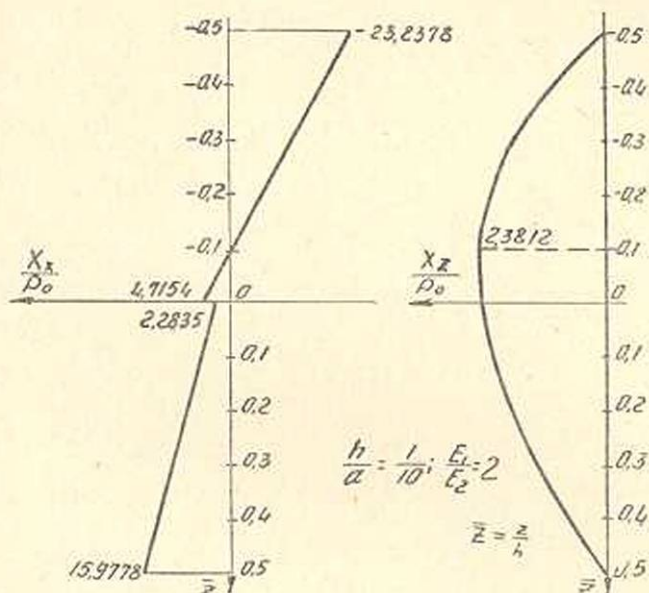
шениях модулей упругости слоев  $\frac{E_1}{E_2}$ . Для сравнения напряжений  $X_x$  и прогиба  $\omega$ , в таблицах помещены значения соответствующих величин, полученных при наличии гипотезы Кирхгофа по формулам [2]:

$$\frac{X_x^{(0)}}{P_0} = \frac{E_1}{E_1} \cdot \frac{24(1+\sigma) \left( \frac{E_2}{E_1} + 1 \right)}{\pi^4 \left[ \left( \frac{E_2}{E_1} \right)^2 + 14 \frac{E_2}{E_1} + 1 \right]} \times \\ \times \frac{a^2}{h^2} \left[ \frac{z}{h} - 0,5 + \frac{\frac{E_2}{E_1} + 3}{4 \left( \frac{E_2}{E_1} + 1 \right)} \right] \sin \frac{\pi x}{a} \sin \frac{\pi y}{a}, \quad (2.11)$$

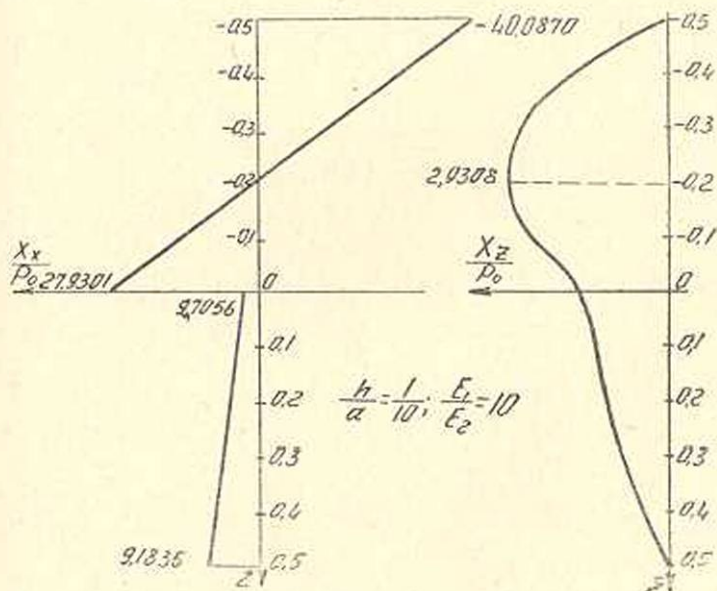
$$\frac{\omega^{(0)}}{P_0 h} = \frac{24(1-\sigma^2)}{\pi^4} \cdot \frac{a^4}{h^4} \times \\ \times \frac{\frac{E_2}{E_1} + 1}{\left( \frac{E_2}{E_1} \right)^2 + 14 \frac{E_2}{E_1} + 1} \sin \frac{\pi x}{a} \sin \frac{\pi y}{a}. \quad (2.12)$$

Те же величины представлены графически на фиг. 1–6, где пунктирными линиями показаны решения при наличии гипотезы Кирхгофа (2.11), (2.12).

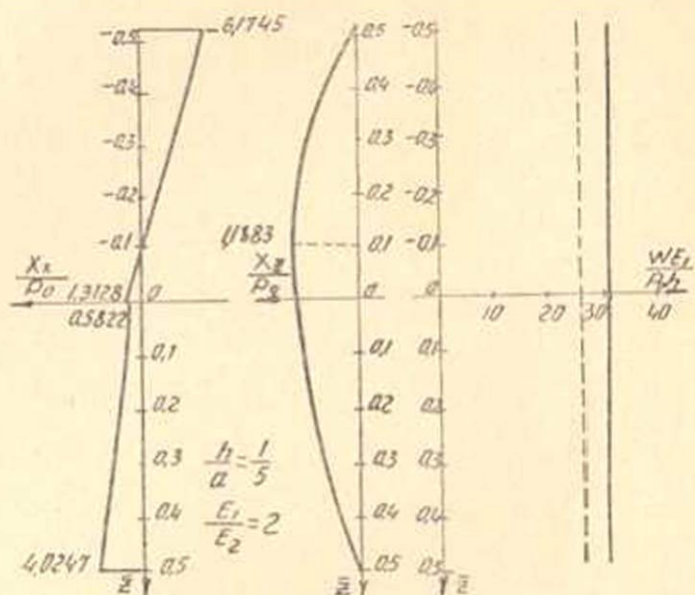
В таблице 4 приводятся значения  $\frac{\partial \omega}{\partial x} \left( 0, \frac{a}{2}, z \right)$  и  $\frac{\partial u}{\partial z} \left( 0, \frac{a}{2}, z \right)$ , позволяющие установить ошибку допущения  $e_{xz} = e_{yz} = 0$ , принимаемого в теории тонких плит.



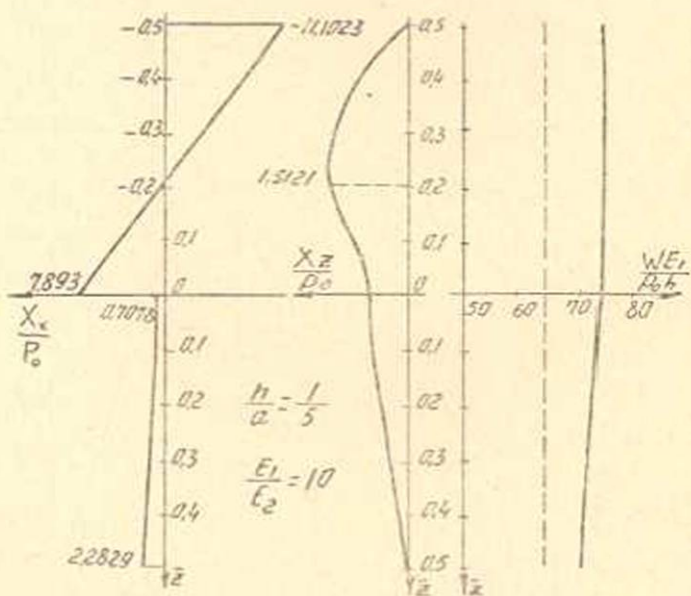
Фиг. 1.



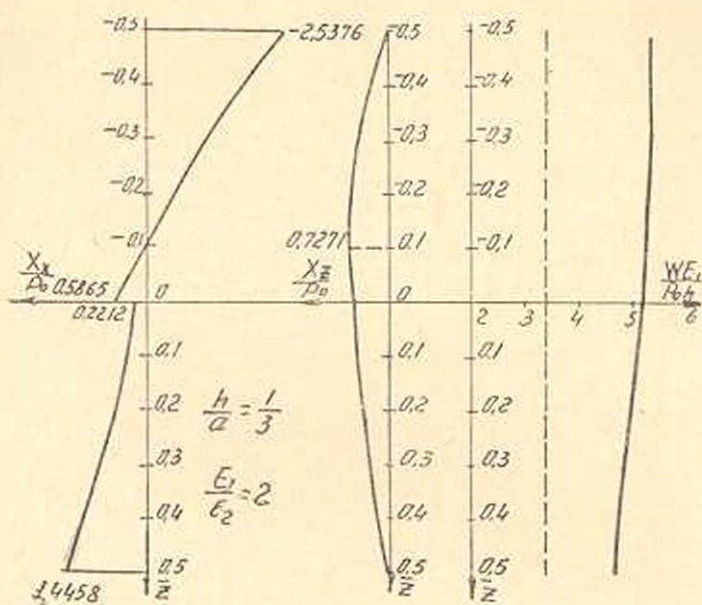
Фиг. 2.



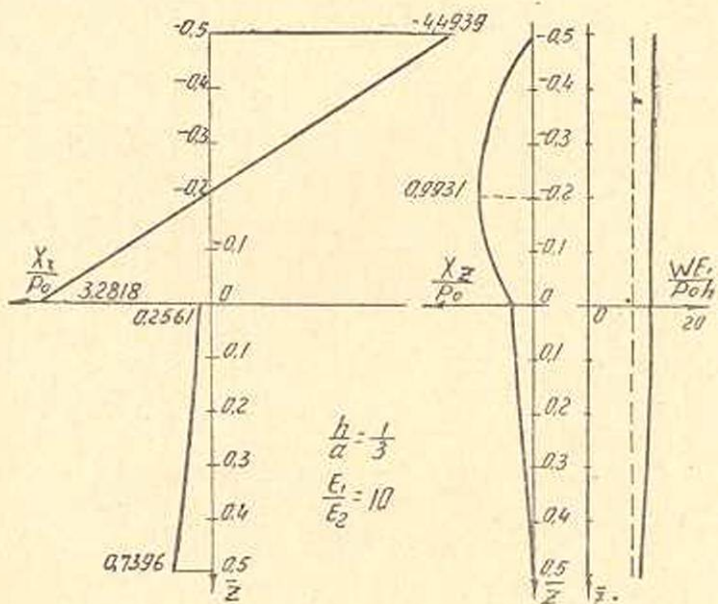
Фиг. 3.



Фиг. 4.



Фиг. 5.



Фиг. 6

## Значения напряжений

Таблица 1

$z/h$	$E_1 = 2$						$E_1 = 3$						
	$\frac{h}{a} = 1$			$\frac{h}{a} = \frac{1}{5}$			$\frac{h}{a} = \frac{1}{3}$			$\frac{h}{a} = \frac{1}{3}$			
0	4.4236	4.7154	-0.4454	2.2803	1.1478	1.3128	-0.4452	1.1349	0.3083	0.5965	-0.4324	0.6659	0
0.1	4.9788	4.9665	-0.3083	2.0959	1.2654	1.2184	-0.3075	1.0402	0.4481	0.4187	-0.2958	0.6047	0
0.2	7.7448	7.6736	-0.1860	1.7764	1.9569	1.8706	-0.1865	0.8821	0.6970	0.6301	-0.1813	0.5122	0
0.3	10.5108	10.4023	-0.0887	1.3217	2.6484	2.5493	-0.0887	0.6584	0.9459	0.8648	-0.0867	0.3846	0
0.4	13.2768	13.1655	-0.0234	0.7727	3.3309	3.2634	-0.0241	0.3660	1.1949	1.1330	-0.0229	0.2107	0
0.5	16.0428	15.9778	0	0	4.0314	4.0247	0	0	1.4438	1.4438	0	0	0
-0.1	-23.2344	-23.2378	-1	0	-5.7671	-6.1749	-1	0	-2.0911	-2.5376	-1	0	0
-0.2	-17.7624	-17.5621	-0.9493	1.0148	-4.3841	-4.5837	-0.9602	0.5273	-1.5932	-1.8051	-0.9626	0.3440	0
-0.3	-12.1704	-11.9535	-0.8650	1.7485	-3.0011	-3.0620	-0.8699	0.8905	-1.0953	-1.1520	-0.8650	0.5709	0
-0.4	-6.6384	-6.5812	-0.7368	2.2041	-1.6181	-1.5855	-0.7407	1.1227	-0.5975	-0.5522	-0.7306	0.6965	0
-0.5	-1.1064	-0.8255	-0.5916	2.3812	-0.2951	-0.1350	-0.5941	1.1883	-0.0996	0.0193	-0.5799	0.7271	0

Таблица 2

## Значения напряжений

$$\frac{E_1}{E_2} = 10$$

$z/h$	$\frac{h}{a} = \frac{1}{10}$					$\frac{h}{a} = \frac{1}{5}$					$\frac{h}{a} = \frac{1}{3}$		
	$X'_x/P_0$	$X_x/P_0$	$Z_z/P_0$	$X_z/P_0$	$X''_x/P_0$	$X_x/P_0$	$Z_z/P_0$	$X_z/P_0$	$X'_x/P_0$	$X_x/P_0$	$Z_z/P_0$	$X_z/P_0$	
-0,5	-41,1038	-40,0870	-1	0	-10,2766	-11,1023	-1	0	-3,6996	-4,4939	-1	0	
-0,4	-27,2174	-26,3949	-0,8891	1,6533	-6,8047	-7,1999	-0,9355	0,9063	-2,4497	-2,8229	-0,9344	0,5957	
-0,3	-13,3309	-12,870	-0,7601	2,6320	-3,3329	-3,4054	-0,7870	1,4277	-1,1908	-1,2720	-0,7712	0,9195	
-0,2	0,5555	0,7483	-0,5755	2,9308	0,1389	0,3405	-0,5932	1,5121	0,0499	0,2218	-0,5667	0,9931	
-0,1	14,4419	14,3306	-0,4016	2,5482	3,6107	4,0870	-0,4682	0,9215	1,2998	1,7193	-0,3724	0,8211	
0	28,3283 2,8328	27,9301 2,7056	-0,2746	1,4852	7,0825 0,7082	7,8930 0,7078	-0,2717	0,7386	2,5497 0,2549	3,2818 0,2561	-0,2403	0,3973	
0,1	4,2215	3,9634	-0,1867	1,3161	1,0554	0,9869	-0,1839	0,6506	0,3799	0,3223	-0,1625	0,3447	
0,2	5,6101	5,2383	-0,1110	1,0834	1,4026	1,2793	-0,1094	0,5351	0,5049	0,3999	-0,0967	0,2816	
0,3	6,9987	6,5289	-0,0513	0,7869	1,7498	1,5898	-0,0508	0,3899	0,6299	0,4925	-0,0454	0,2057	
0,4	8,3874	7,8417	-0,0143	0,4259	2,0969	1,9225	-0,0128	0,2133	0,7549	0,6041	-0,0117	0,1135	
0,5	9,7760	9,1835	0	0	2,4441	2,2829	0	0	0,8798	0,7396	0	0	

Примечание к таблицам 1 и 2.

В плоскости контакта  $z = 0$  приведем значения  $\frac{X_x}{P_0}$  для верхнего и нижнего слоев.

Значения  $\frac{\omega E_1}{\rho_0 h}$

Таблица 3

$\frac{E_1}{E_2} = 2$			$\frac{E_1}{E_2} = 10$		
$\frac{z}{h}$	$\frac{h}{a} = \frac{1}{5}$	$\frac{h}{a} = \frac{1}{3}$	$\frac{h}{a} = \frac{1}{5}$	$\frac{h}{a} = \frac{1}{3}$	
-0,5	31,0086	5,3503	75,4721	11,9965	
-0,4	31,1753	5,3636	75,8227	12,0809	
-0,3	31,2746	5,3454	76,0013	12,0963	
-0,2	31,3097	5,3079	76,0160	12,0563	
-0,1	31,2859	5,2555	75,8478	11,9612	
0	31,2047	5,1899	75,5157	11,8067	
0,1	31,0396	5,0851	74,8651	11,4617	
0,2	30,8363	4,9852	74,1539	11,1534	
0,3	30,6851	4,8843	73,3594	10,8612	
0,4	30,2874	4,7744	72,4515	10,5610	
0,5	29,9253	4,6443	71,4061	10,2226	

по Кирхгофу 26,2472      по Кирхгофу 3,4016      по Кирхгофу 65,8897      по Кирхгофу 8,5393

При  $\frac{h}{a} = \frac{1}{10}$  расхождения  $\omega$  и  $\omega_0$  не превышают 4%

Таблица 4

$\frac{h}{a} = \frac{1}{10}$						
$\frac{E_1}{E_2} = 2$			$\frac{E_1}{E_2} = 10$			
$\frac{z}{h}$	$\frac{E_1 a}{\rho_0 h} \frac{\partial \omega}{\partial x}$	$\frac{E_1 a}{\rho_0 h} \frac{\partial u}{\partial z}$	$\frac{e_{xz}}{\frac{\partial \omega}{\partial x}}$	$\frac{E_1 a}{\rho_0 h} \frac{\partial \omega}{\partial x}$	$\frac{E_1 a}{\rho_0 h} \frac{\partial u}{\partial z}$	$\frac{e_{xz}}{\frac{\partial \omega}{\partial x}}$
-0,5	1364,6951	-1364,6853	0	3285,4616	-3285,7876	0
0	1370,6424	-1313,6672	4,16%	3289,0443	-3251,9882	1,13%
0	1370,6424	-1256,6935	8,31%	3289,0443	-2917,8305	11,28%
0,5	1355,9837	-1356,1202	0	3240,9261	-3241,7786	0

$\frac{h}{a} = \frac{1}{5}$						
-0,5	97,4164	-97,4233	0	237,1024	-237,1096	0
0	98,0323	-83,8473	14,46%	237,2395	-228,0123	3,89%
0	98,0323	-69,6502	28,95%	237,2395	-144,9193	38,91%
0,5	94,0127	-94,0137	0	224,3287	-224,0623	0

$\frac{h}{a} = \frac{1}{3}$						
-0,5	16,8083	-16,8093	0	37,6880	-37,6705	0
0	16,3047	-11,3110	30,62%	37,0919	-34,1145	8,03%
0	16,3047	-6,3170	61,25%	37,0919	-7,3039	80,30%
0,5	14,5906	-14,5834	0	32,1152	-32,0235	0

Приведенные в таблицах результаты вычислений показывают следующее:

1. Нормальное напряжение  $X_x$ , претерпевая разрыв на контакте, по высоте плиты меняется линейно для отношений  $\frac{h}{a} = \frac{1}{10}, \frac{1}{5}$  и по кривой для случая  $\frac{h}{a} = \frac{1}{3}$ , причем как показывают фиг. 1—6 при  $\frac{E_1}{E_2} = 2$  закон изменения напряжения  $X_x$  более отличен от линейного, чем при  $\frac{E_1}{E_2} = 10$ .

В таблице 5 приведены расхождения максимальных значений  $X_x$  и  $X_x^*$ .

2. Максимальное значение нормального напряжения  $Z_z$  составляет от максимального значения  $X_x$  следующие величины (таблица 6). Как показывают фигуры 1—6 и таблица 6 предел отношения  $\frac{h}{a}$ , до которого можно пренебрегать  $Z_z$  по отношению к  $X_x$ , для случая  $\frac{E_1}{E_2} = 10$  выше, чем при  $\frac{E_1}{E_2} = 2$ .

Таблица 5

$\frac{h/a}{E_1/E_2}$	1/10	1/5	1/3
2	0,014%	6,6%	17,59%
10	2,53%	7,44%	17,67%

Таблица 6

$\frac{h/a}{E_1/E_2}$	1/10	1/5	1/3
2	4,3%	16,2%	39,3%
10	2,49%	9%	22,3%

3. Напряжение  $X_z$  принимает максимальное значение в слое с большим модулем упругости; с увеличением отношения модулей упругости слоев этот максимум перемещается к плоскости  $z = \frac{h}{4}$  этого слоя.

4. Сравнение значений  $\omega$  с  $\omega_0$  показывает, что теория изгиба тонких плит при отношениях  $\frac{h}{a} > \frac{1}{5}$  дает для прогиба существенно заниженные значения.

В таблице 7 приводятся результаты сравнения расхождений наименьшего и наибольшего значений прогиба  $\omega$  с прогибом  $\omega_0$ .

5. Как показывает таблица 4 для отношений  $\frac{h}{a} > \frac{1}{5}$  допущение  $e_{xz} = e_{yz} = 0$  может привести к значительным погрешностям, в то время как предположение  $e_{zz} = 0$  (табл. 3) допустимо для отношений

$\frac{h}{a} < \frac{1}{3}$ . Это подтверждается также значениями прогибов (таблица 8), вычисленными для рассматриваемого случая по гипотезе [3], где принимается  $e_{xz} \neq 0$ ,  $e_{yz} \neq 0$ ,  $e_{zz} = 0$ .

Таблица 7

$\frac{h/a}{E_1/E_2}$	$\frac{1}{5}$	$\frac{1}{3}$
2	12,3—16,3%/о	26,7—36,3%/о
10	7 —13,15%/о	16,6—29,4%/о

Таблица 8

$\frac{h/a}{E_1/E_2}$	$\frac{1}{5}$	$\frac{1}{3}$
2	31,649	5,345
10	76,270	12,275

В заключение отметим, что если для однослойной плиты критерием применимости теории изгиба тонких плит является некоторое предельное отношение  $\frac{h}{a}$ , то для двухслойной плиты этого отношения недостаточно. На напряженное состояние оказывает влияние отношение модулей упругости слоев.

Ереванский политехнический институт  
им. К. Маркса

Поступило 26 VIII 1958

Ա. Պ. ՄԵԼԿՈՅԱՆԻ

## ԵՐԿՇԵՐՏ ՀԱՍՏ ՍԱԼԻ ԾՈՒՄԱՆ ՄԱՍԻՆ

Ա Մ Փ Ո Փ Ո Ւ Մ

Հողվածում դիտարկված է ազատ հենված ուղղանկյուն կտրվածքով երկ-  
շերտ հաստ սալի ծաման խնդիրը: Ծիրտերի նյութերի առաձգականության մո-  
դուլները տարբեր են, բայց հաստատուն են լուրաքանչուր շերտի համար:  
Ենթադրվում է նաև, որ Պուասսոնի գործակիցը երկու շերտի համար էլ միև-  
նույնն է: Մասնավոր դեպքում լուծված է քառակուսի սալի ծաման խնդիրը  
տարբեր հարաբերական չափերի և շերտերի առաձգականության մոդուլների  
տարբեր հարաբերությունների համար: Ծճգրիտ լուծման արդյունքները համե-  
մատվում են բարակ սալերի ծաման տեսությունից ստացված արդյունքների  
հետ:

## ЛИТЕРАТУРА

1. Галеркин Б. Г. Собрание сочинений, том 1, 1952.
2. Амбарцумян С. А. Известия АН АрмССР (серия ФМЕТ), VI, 5, 1953.
3. Амбарцумян С. А. Известия АН СССР ОТН, 7, 1957.